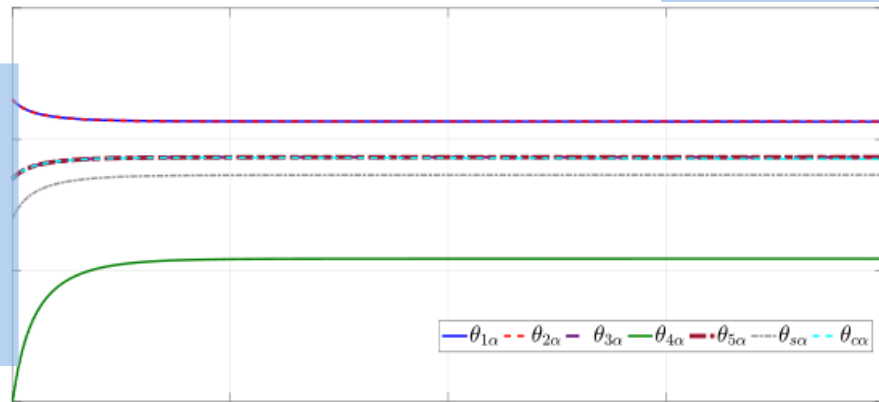




# Engenharia de Controle e Automação

## Controle Adaptativo



**Prof. Dr.**  
**Paulo J. D. O. Evald**



Prof. Dr.  
Paulo J. D. O. Evald



Centro de Engenharias  
Sala 211



[paulo.evald@ufpel.edu.br](mailto:paulo.evald@ufpel.edu.br)

## “ Objetivos da aula:

- Controle Adaptativo por Modelo de Referência
  - Formulação do MRAC;
  - Regra MIT;
  - Implementação do MRAC.



# Introdução

Em um sistema de controle por modelo de referência adaptativo, o comportamento do sistema em malha fechada é semelhante ao modelo de referência projetado;

- A entrada do modelo de referência é um sinal de referência uniformemente limitado,  $r$ ;
- O erro de rastreamento é dado entre a saída da planta e a saída do modelo de referência;

$$e(k) = y(k) - y_m(k)$$

# Introdução

A estrutura do controlador adaptativo por modelo de referência, ou *Model Reference Adaptive Control* (MRAC) é fundamentada no MRC, mas sem a necessidade de calcular os ganhos  $\theta$ ;

Considere uma planta de primeira ordem, definida como

$$G_p(s) = \frac{Y(s)}{U(s)} = \frac{b_p}{s + a_p}$$

e um modelo de referência dado por

$$W_m(s) = \frac{Y_m(s)}{R(s)} = \frac{b_m}{s + a_m}$$

# Introdução

Define-se a lei de controle como

$$U(s) = \theta_1^* R(s) - \theta_2^* Y(s)$$



Ganhos ideais!!

Os valores ideais  $\theta_1^*$  e  $\theta_2^*$  garantem que  $Y(s) = Y_m(s)$ ,

$$\frac{Y(s)}{R(s)} = \frac{Y_m(s)}{R(s)} = W_m(s)$$

# Introdução

A saída da planta é expressa por

$$Y(s) = G_p(s)U(s)$$

Como

$$U(s) = \theta_1^* R(s) - \theta_2^* Y(s)$$

Então, substituindo  $U(s)$  na equação de  $Y(s)$ , pode-se obter

$$\frac{Y(s)}{R(s)} = \frac{G_p(s)\theta_1^*}{1 + G_p(s)\theta_2^*}$$

# Introdução

Substituindo  $G_p(s) = b_p/(s+a_p)$  na equação anterior e igualando à  $W_m(s)=b_m/(s+a_m)$ , obtém-se

$$\frac{Y(s)}{R(s)} = \frac{b_p \theta_1^*}{s + a_p + b_p \theta_2^*} = \frac{b_m}{s + a_m} = \frac{Y_m(s)}{R(s)}$$

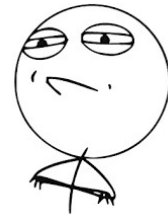
onde os ganhos ideais são obtidos igualdo as expressões do numerador e denominador do sistema em malha fechada com o modelo de referência, que resulta em

$$\theta_1^* = \frac{b_m}{b_p} \quad \text{e} \quad \theta_2^* = \frac{a_m - a_p}{b_p}$$



# Introdução

## Prática



# Introdução

## Prática

Implementar o controlador desenvolvido anteriormente para a planta

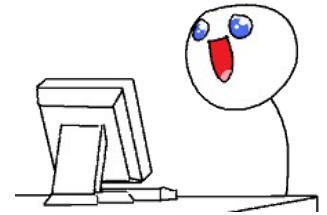
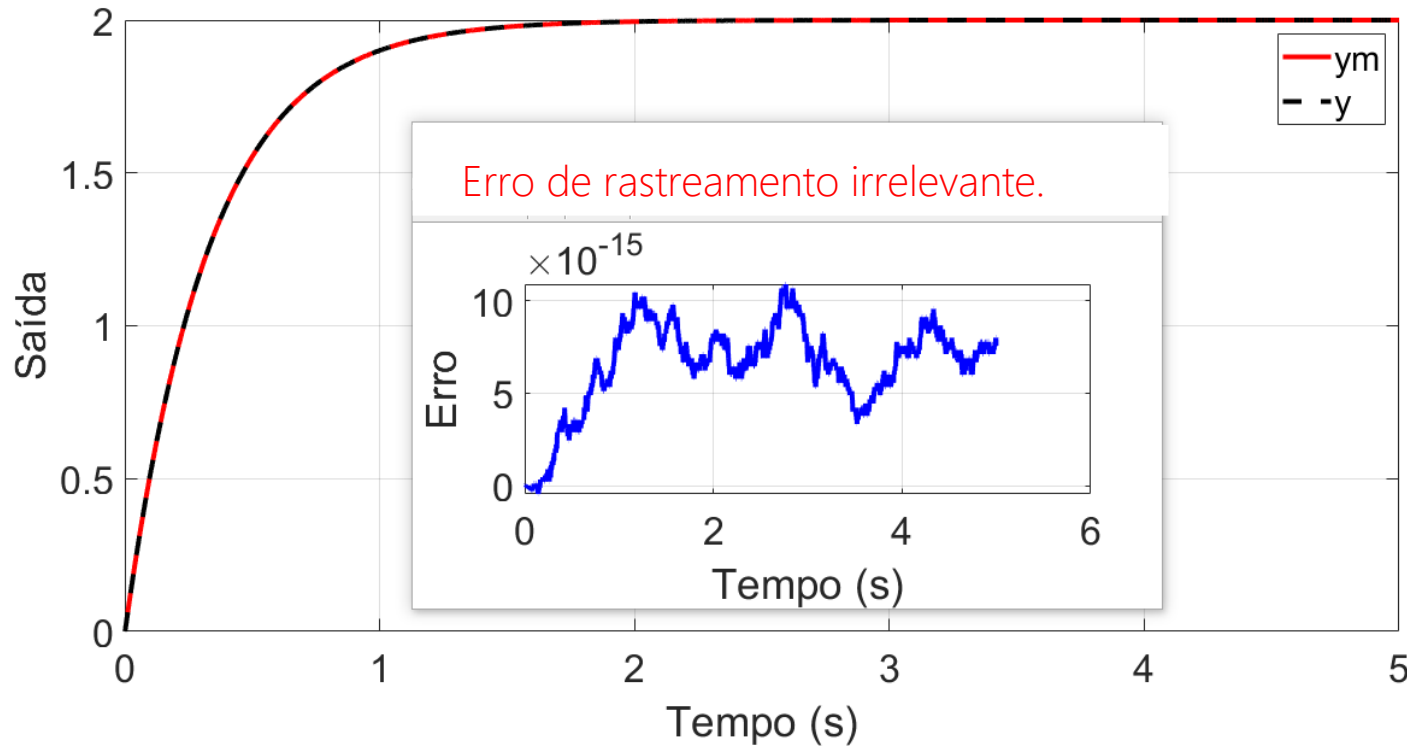
$$G_p = \frac{0,1}{s + 0,1}$$

Usando o seguinte modelo de referência

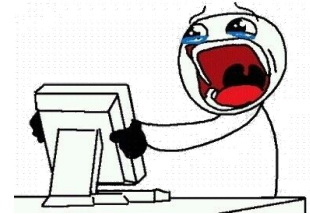
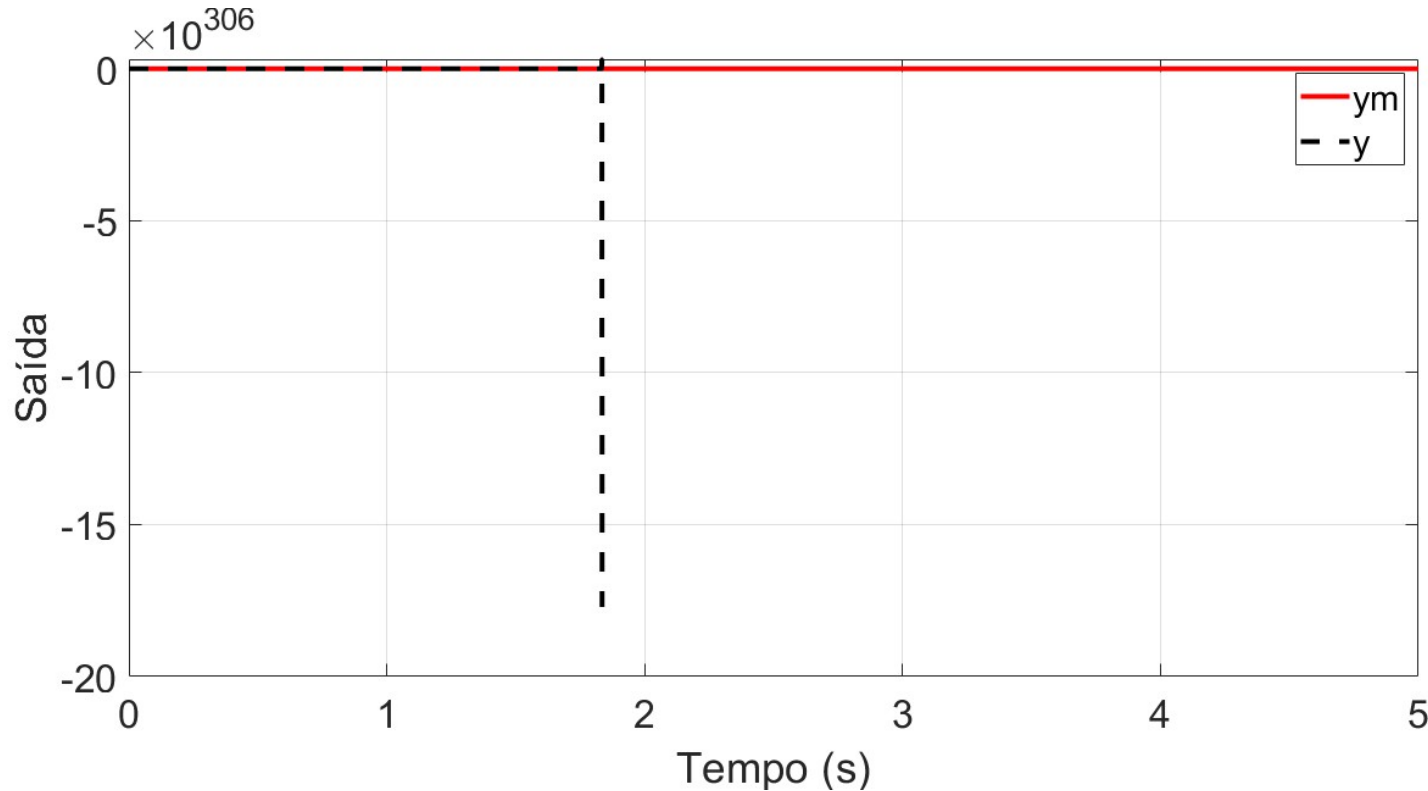
$$W_m = \frac{3}{s + 3}$$

Considere uma frequência de amostragem de 1 kHz e sinal de referência um degrau de amplitude 2.

# Introdução



# Introdução



Varição  
paramétrica  
em 0,5s

**Ap = 1,01 Ap**

# Regra MIT

O primeiro mecanismo de adaptação proposto na literatura foi a regra MIT;

Aplicável em plantas com parâmetros desconhecidos;

Requer desenvolvimento da lei de adaptação para cada planta controlada;

Desempenho inferior ao algoritmo do Gradiente e *Least Squares*.

# Regra MIT

Para um sistema de primeira ordem, há dois ganhos a serem calculados;

Pela regra MIT,

$$\frac{d\theta_1}{dt} = -\gamma e_1 \frac{\partial e_1}{\partial \theta_1}$$

$$\frac{d\theta_2}{dt} = -\gamma e_1 \frac{\partial e_1}{\partial \theta_2}$$

Sendo o erro de rastreamento  $e_1$  dado por

$$e_1 = y - y_m$$

Logo,

$$\frac{\partial e_1}{\partial \theta_1} = \frac{\partial y}{\partial \theta_1} - \frac{\partial y_m}{\partial \theta_1} = \frac{\partial y}{\partial \theta_1}$$

0

$$\frac{\partial e_1}{\partial \theta_2} = \frac{\partial y}{\partial \theta_2} - \frac{\partial y_m}{\partial \theta_2} = \frac{\partial y}{\partial \theta_2}$$

0

Obs.:  $y_m$  é definido a priori e é independente do ganho

# Regra MIT

Da análise prévia feita para o MRC, sabe-se que

$$Y(s) = \frac{b_p \theta_1}{s + a_p + b_p \theta_2} R(s)$$

Considerando que  $s$  no domínio do tempo funciona como operador diferencial\*, então  $s \equiv \frac{d(.)}{dt}$ .

Portanto,

$$y(t) = \frac{b_p \theta_1}{\frac{d(.)}{dt} + a_p + b_p \theta_2} r(t)$$

conveniente da Transformada de Laplace considerando resíduos nulos.

# Regra MIT

Deriva-se  $y(t)$  parcialmente em função de cada ganho,

$$\frac{\partial y}{\partial \theta_1} = \frac{b_p}{\frac{d(.)}{dt} + a_p + b_p \theta_2} r$$

$$\frac{\partial y}{\partial \theta_2} = \frac{-b_p^2 \theta_1}{\left( \frac{d(.)}{dt} + a_p + b_p \theta_2 \right)^2} r$$

Como  $y(t) = \frac{b_p \theta_1}{\frac{d(.)}{dt} + a_p + b_p \theta_2} r(t)$  , e então

$$\frac{\partial y}{\partial \theta_2} = \frac{-b_p}{\frac{d(.)}{dt} + a_p + b_p \theta_2} y$$



# Regra MIT

Retomando: a regra MIT determina que a variação dos ganhos adaptativos é determinada por:

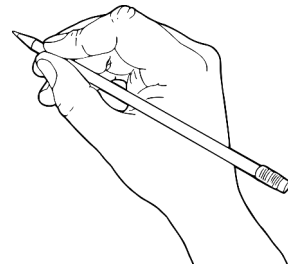
$$\frac{d\theta_1}{dt} = -\gamma e_1 \frac{\partial e_1}{\partial \theta_1}$$

$$\frac{d\theta_2}{dt} = -\gamma e_1 \frac{\partial e_1}{\partial \theta_2}$$

Calculamos que

$$\frac{\partial e_1}{\partial \theta_1} = \frac{\partial y}{\partial \theta_1} - \frac{\partial y_m}{\partial \theta_1} = \frac{\partial y}{\partial \theta_1} = \frac{b_p}{\frac{d(.)}{dt} + a_p + b_p \theta_2} r$$

$$\frac{\partial e_1}{\partial \theta_2} = \frac{\partial y}{\partial \theta_2} - \frac{\partial y_m}{\partial \theta_2} = \frac{\partial y}{\partial \theta_2} = \frac{-b_p \theta_1}{\frac{d(.)}{dt} + a_p + b_p \theta_2} y$$



# Regra MIT

Se os coeficientes da planta fossem conhecidos, basta calcular os ganhos ideais  $\theta^*$  como no controlador anterior,

$$a_p + b_p \theta_2^* = a_m$$

Mas, como a planta é incerta, esta abordagem não é adequada. Considerando que os ganhos estão com valores próximos aos ideais, então a seguinte aproximação é razoável,

$$a_p + b_p \theta_2 \approx a_m$$

# Regra MIT

Substituindo as aproximações nas equações de derivações parciais, obtém-se

$$\frac{d\theta_1}{dt} = -\gamma \left( \frac{a_m r}{\frac{d(.)}{dt} + a_m} \right) e_1$$

$$\frac{d\theta_2}{dt} = \gamma \left( \frac{a_m y}{\frac{d(.)}{dt} + a_m} \right) e_1$$

onde  $\gamma = \frac{\gamma' b_p}{a_m}$

e  $\gamma'$  é um parâmetro de projeto que determina a taxa de convergência dos ganhos.

# Regra MIT

Para implementação, pode-se criar um filtro virtual  $F(s)$ ,

$$\frac{d\theta_1}{dt} = -\gamma \left( \frac{a_m r}{\frac{d(\cdot)}{dt} + a_m} \right) e_1$$

$$\frac{d\theta_2}{dt} = \gamma \left( \frac{a_m y}{\frac{d(\cdot)}{dt} + a_m} \right) e_1$$

$$F(s) = \frac{a_m}{s + a_m}$$

onde  $\gamma = \frac{\gamma' b_p}{a_m}$

e  $\gamma'$  é um parâmetro de projeto que determina a taxa de convergência dos ganhos.

# MRAC com regra MIT

Para implementação digital, use a aproximação de Euler,

$$\theta_1(k+1) = \theta_1(k) - T\gamma\zeta_r(k)e_1(k)$$

$$\theta_2(k+1) = \theta_2(k) + T\gamma\zeta_y(k)e_1(k)$$

onde o filtro virtual é definido por

$$\zeta_r(k) = F(z)r(k)$$

$$\zeta_y(k) = F(z)y(k)$$

e  $T$  é o período de amostragem.

A ação de controle é  $u(k) = \theta_1(k) r(k) - \theta_2(k) y(k)$ .


# MRAC com regra MIT

```

content: "";
content: none;
}
table {
  border-collapse: collapse;
  border-spacing: 0;
}
button, input, select, textarea { margin: 0 }
:focus { outline: 0 }
a:link { -webkit-tap-highlight-color: #FF5E99 }
img, video, object, embed {
  max-width: 100%;
  height: auto!important;
}
iframe { max-width: 100% }
blockquote {
  font-style: italic;
  font-weight: normal;
  font-family: Georgia,Serif;
  font-size: 15px;
  padding: 0 10px 20px 27px;
  position: relative;
  margin-top: 25px;
}
blockquote:after {
  position: absolute;
  content: "";
}

blockquote p { margin-bottom: 10px }
strong, b { font-weight: bold }
em, i, cite {
  font-style: normal;
  font-family: arial;
}
small { font-size: 100% }
figure { margin: 10px 0 }
code, pre {
  font-family: monospace,consolas,sans-serif;
  font-weight: normal;
  font-style: normal;
}
pre {
  margin: 5px 0 20px 0;
  line-height: 1.3em;
  padding: 8px 10px;
  overflow: auto;
}
code {
  padding: 0 8px;
  height: 1.5em;
}
pre {
  padding: 1px 6px;
  margin: 0 2px;
  border: 1px solid black;
}

```



## Implementação no Matlab/Octave

# MRAC com regra MIT

Projete um controle adaptativo usando a regra MIT para a planta,

$$G_p(s) = \frac{0,8}{s + 1,4}$$

Com o seguinte modelo de referência,

$$W_m(s) = \frac{3}{s + 3}$$

e um filtro auxiliar,

$$F(s) = \frac{3}{s + 3}$$

Referência:  $r(k) = 2 * \text{square}((2 * \pi / 20) * k * T)$  e  $T = 10e-3$  s.

# MRAC com regra MIT

```
clc clear all close all
```

```
gamma = 2; % Parâmetro que define a velocidade de convergência
```

```
T = 10e-3; % Período de amostragem
```

```
% Sistema
```

```
bp = 0.8;
```

```
ap = 1.4;
```

```
num_ps = bp;
```

```
den_ps = [ 1 ap ];
```

```
Gp_s = tf(num_ps,den_ps);
```

```
% Planta discretizada
```

```
[num_z,den_z] = c2dm(num_ps,den_ps,T,'zoh');
```

```
beta_p = num_z(2); % 0.007944260421222
```

```
alfa_p = den_z(2); % -0.986097544262862
```



# MRAC com regra MIT

% Modelo de referência

bm = 3; am = 3;

num\_ws = bm;

den\_ws = [ 1 am ];

W\_s = tf(num\_ws,den\_ws);

% Modelo de referência discretizado (ZOH)

[num\_wz,den\_wz] = c2dm(num\_ws,den\_ws,T,'zoh');

beta\_m = num\_wz(2); % 0.029554466451492

alfa\_m = den\_wz(2); % -0.970445533548508

# MRAC com regra MIT

% Filtro auxiliar

bf = 3; af = 3;

num\_fs = bf;

den\_fs = [ 1 af ];

F\_s = tf(num\_fs,den\_fs);

% Filtro auxiliar discretizado

[num\_fz,den\_fz] = c2dm(num\_fs,den\_fs,T,'zoh');

beta\_f = num\_fz(2); % 0.029554466451492

alfa\_f = den\_fz(2); % -0.970445533548508

# MRAC com regra MIT

% Inicializações e alocação do espaço na memória

ktotal = 10000;

r = zeros(1,ktotal);

y = zeros(1,ktotal);

ym = zeros(1,ktotal);

u = zeros(1,ktotal);

e1 = zeros(1,ktotal);

t = zeros(1,ktotal);

zetar = zeros(1,ktotal);

zetay = zeros(1,ktotal);

theta1 = zeros(1,ktotal);

theta2 = zeros(1,ktotal);

# MRAC com regra MIT

for k =2:ktotal

t(k) = (k-2)\*T; % Tempo

pkg load signal % apenas Octave

r(k) = 2\***square**( (2\*pi/20)\*k\*T ); % Sinal de referência

ym(k) = beta\_m \* r(k-1) - alfa\_m \* ym(k-1); % Saída do modelo de referência

y(k) = beta\_p \* u(k-1) - alfa\_p \* y(k-1); % Saída da planta

# MRAC com regra MIT

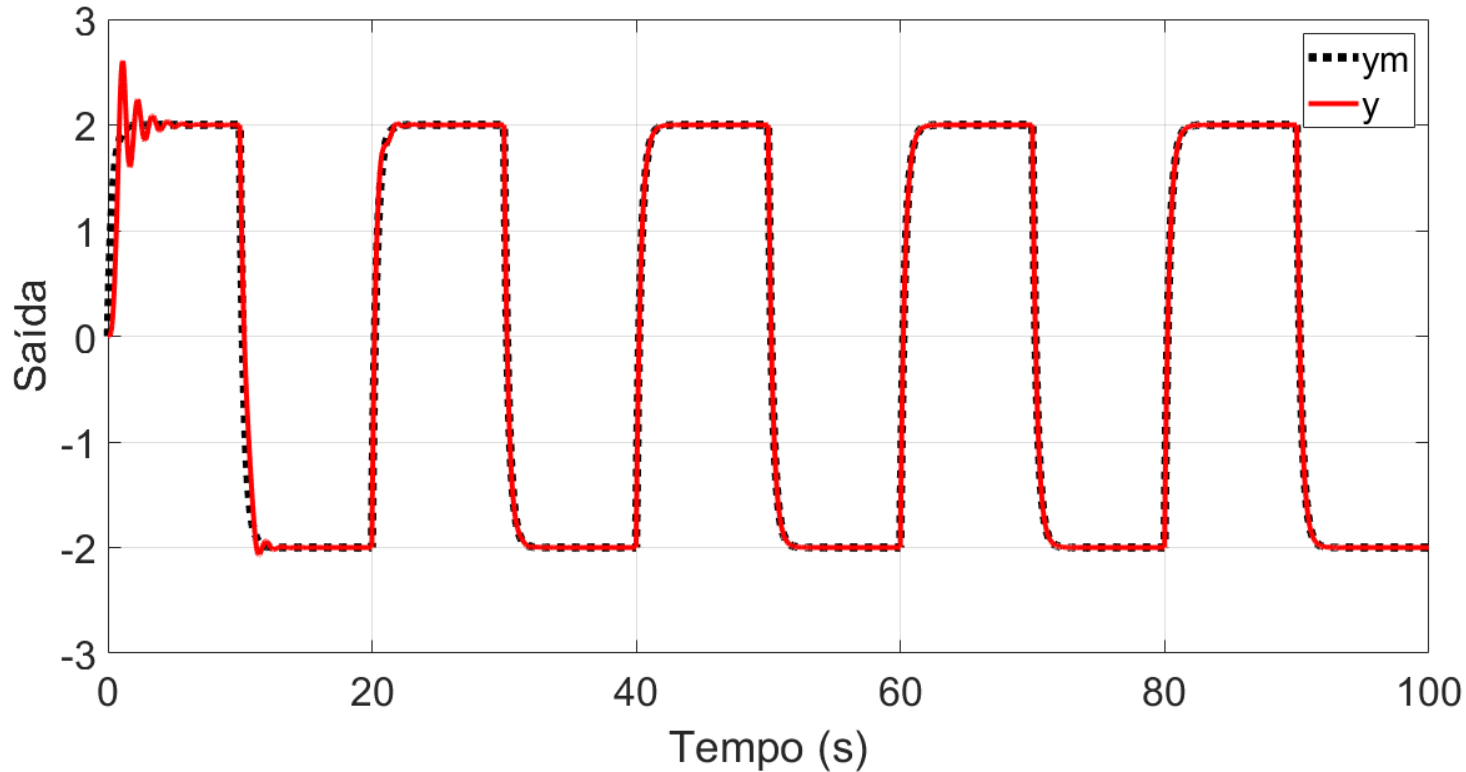
```
u(k) = theta1(k) * r(k) - theta2(k) * y(k);    % Ação de controle
e1(k) = y(k) - ym(k);                          % Erro de rastreamento

% Filtros auxiliares
zetar(k) = beta_f * r(k-1) - alfa_f * zetar(k-1);
zetay(k) = beta_f * y(k-1) - alfa_f * zetay(k-1);

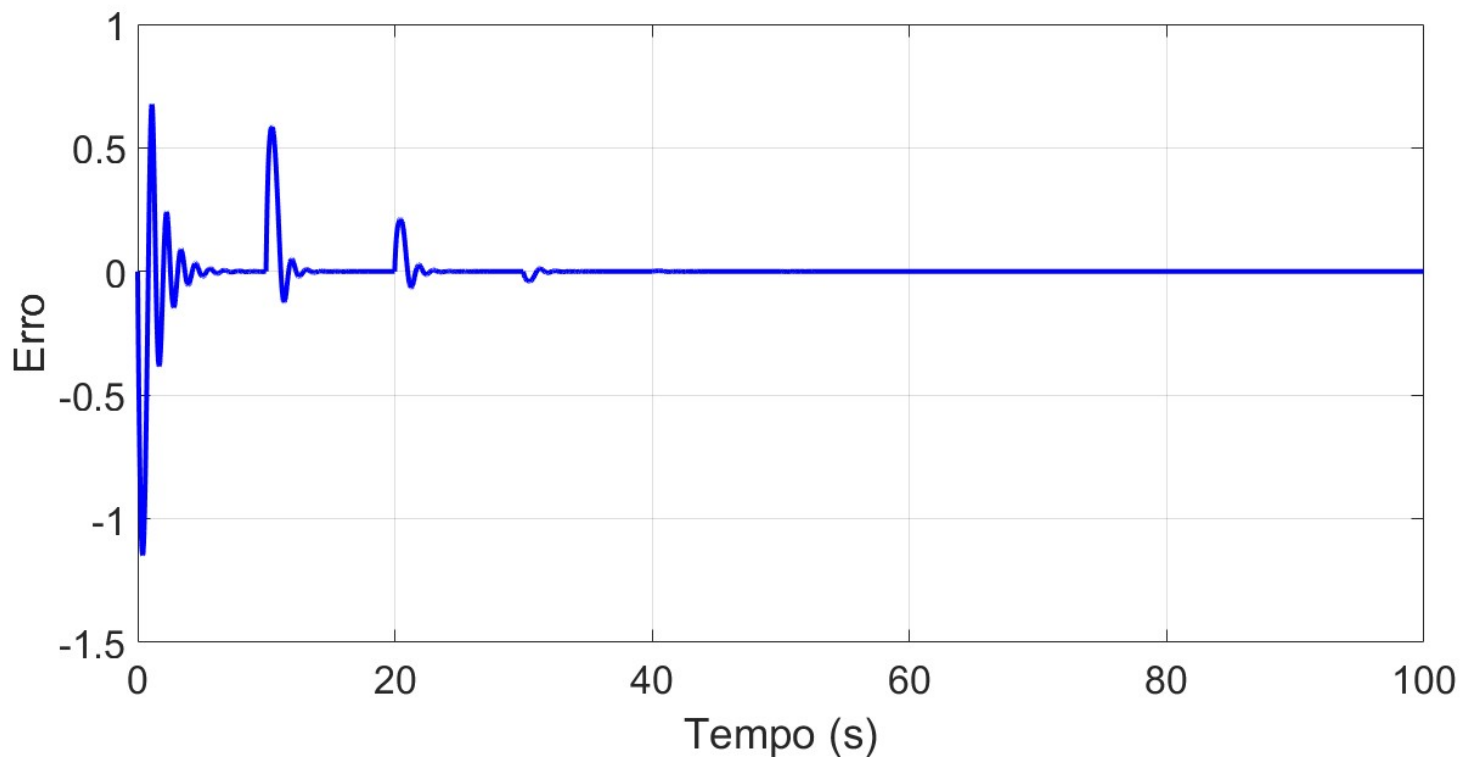
% Ganhos adaptativos
theta1(k+1) = theta1(k) - T*gamma * zetar(k) * e1(k);
theta2(k+1) = theta2(k) + T*gamma * zetay(k) * e1(k);

end
```

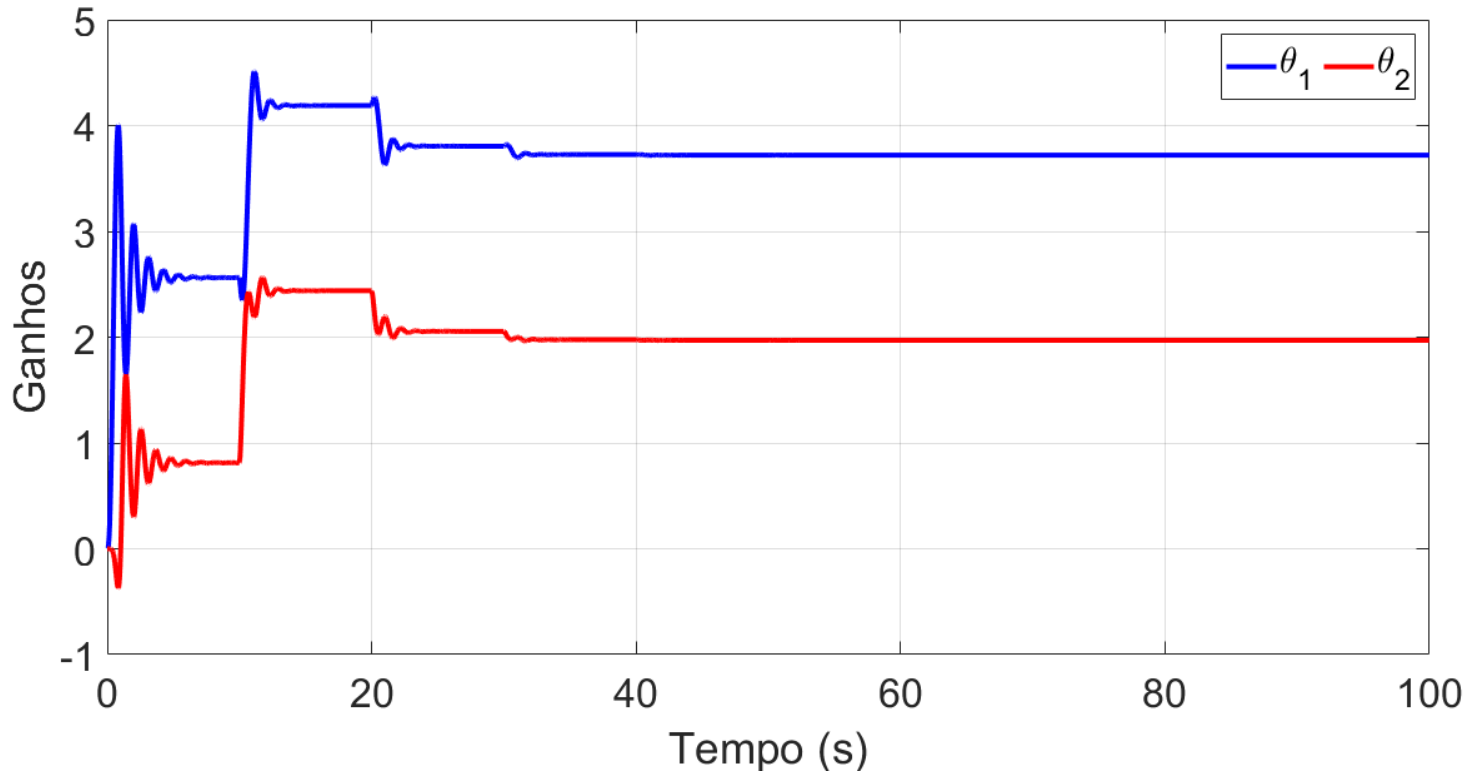
# MRAC com regra MIT



# MRAC com regra MIT

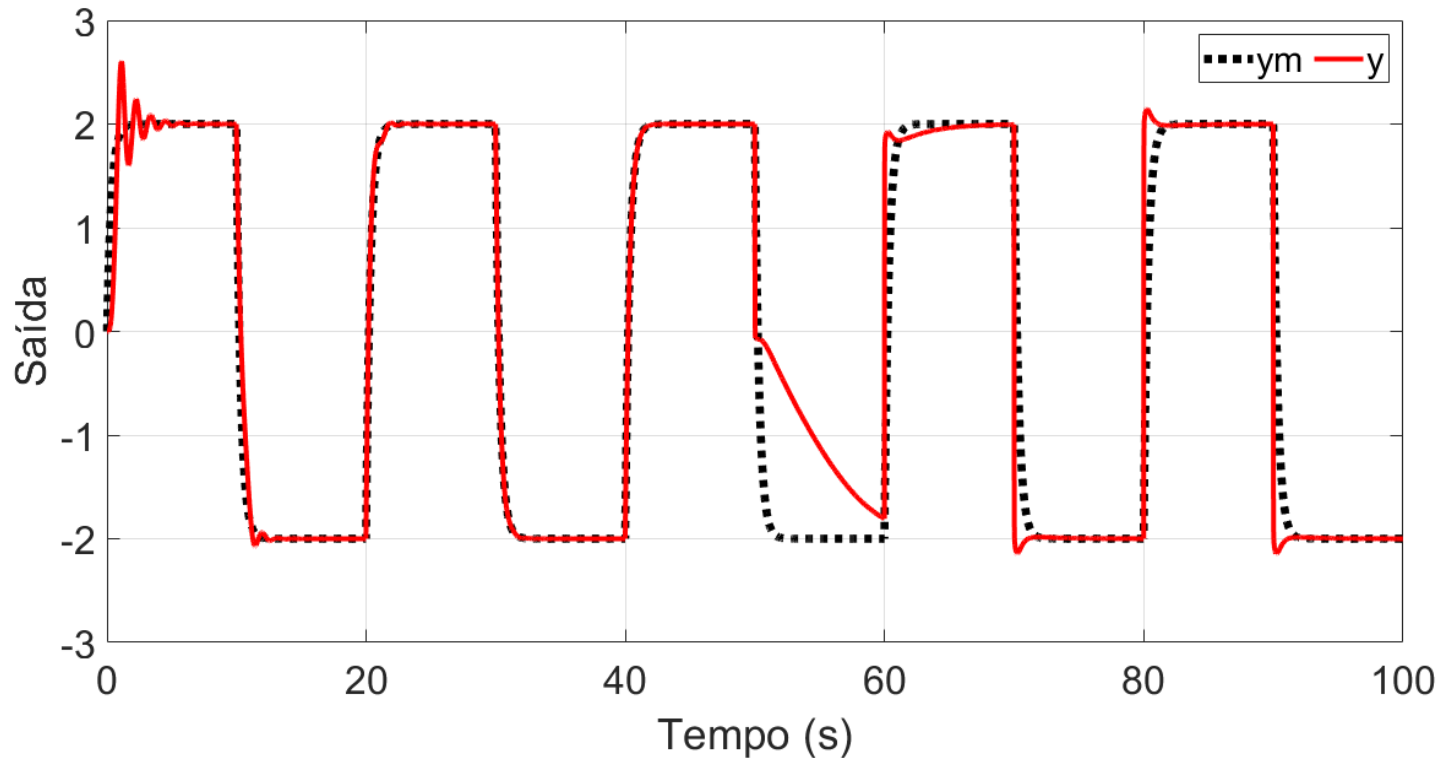


# MRAC com regra MIT





# MRAC com regra MIT

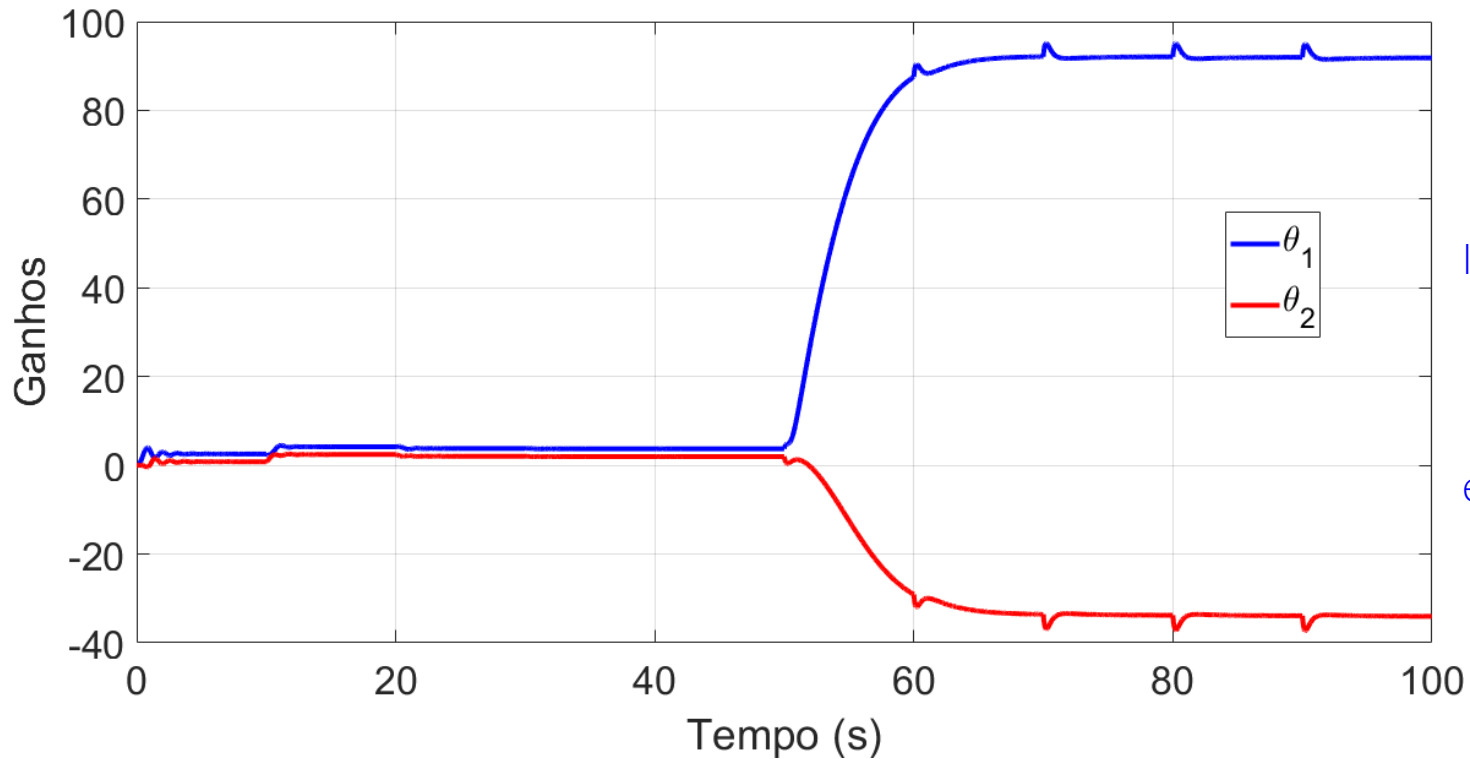


if ( k > 5000 )

alfa\_p=0.5\*alfa\_p;

end

# MRAC com regra MIT



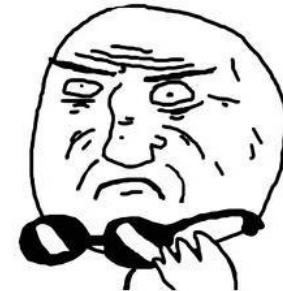
if ( k > 5000 )

alfa\_p=0.5\*alfa\_p;

end

# MRAC com regra MIT

## Prática



# MRAC com regra MIT

Escolha um sistema real de primeira ordem e

- Implemente o MRAC com regra MIT para este sistema;
- Varie o parâmetro  $\gamma'$  e observe a convergência paramétrica;
- Varie o polo deste sistema e verifique até quanta variação paramétrica o controlador consegue manter o sistema em malha fechada estável.

# **Próxima aula:**

## **Model Reference Adaptive Control**

**Algoritmo do  
Gradiente**

Teoria + Simulações  
(aula no laboratório de informática)

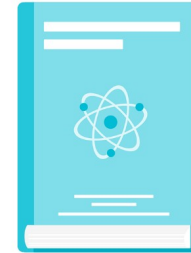


# Bibliografia Básica

AGUIRRE, Luiz Antonio (Ed). **Enciclopédia de automática: controle & automação**. São Paulo: Atlas, 2007. 3 v. ISBN 9788521204084

ASTOLFI, Alessandro. **Nonlinear and Adaptive Control with Applications**. XVI, 290 p (Communications and Control Engineering, 0178-5354).

CHERNOUSKO, Felix L. **Control of Nonlinear Dynamical Systems: Methods and Applications**. XII, 396 p. 121 illus (Communications and Control Engineering, 0178-5354).



# Bibliografia Complementar

KHALIL, H. K., **Nonlinear systems**, 3rd Edition, Prentice Hall, 2002.

SLOTINE, J. J. E.; LI, W., **Applied nonlinear control**, Prentice Hall, 1991.

FRANKLIN, G.; POWELL, J.D.; EMAMI-NAEINI, A., **Feedback Control of Dynamic Systems**, 6ª Edition, Prentice Hall, 2010.

ZHOU, Jing. **Adaptive Backstepping Control of Uncertain Systems: Nonsmooth Nonlinearities, Interactions or Time-Variations**. XIV, 242 p. 94 illus (Lecture Notes in Control and Information Sciences, 0170-8643 ; 372).

